



## دراسة تأثير اختلاف الجرع الإشعاعية على بعض الخصائص الميكانيكية لمادة متراكبة من الراتنج النوفولاك معرضة لأشعة ذات طاقة عالية

رولا عبد الخضر عباس\* مزهر علي صاحب\*\* محمد صلاب حمزة\*\*\*

\* قسم العلوم التطبيقية / الجامعة التكنولوجية

\*\* قسم هندسة الكهروميكانيكي / الجامعة التكنولوجية

\*\*\* قسم هندسة المواد / الجامعة التكنولوجية

(Received 23 March 2008; accepted 2 June 2009)

### الخلاصة

تضمنت هذه الدراسة تحضير مادة متراكبة من راتنج الفينول- فورمالديهيد نوع (نوفولاك) كمادة أساس للمادة المتراكبة، بينما استعملت ألياف الزجاج نوع (E-glass) بشكل ألياف قصيرة كمواد مقوية. وقد كانت نسبة الكسر الوزني للألياف تقدر بـ (60%)، كما استخدم طريقة التشرب (Impregnation) في تحضير هذه المادة المتراكبة باستعمال القوالبة بمكابس الضغط. وأن هذه المادة المتراكبة المحضرة شُعّعت بأشعة كاما المنبعثة من النظير المشع ( $^{60}Co$ ) ذات معدل طاقة (1.25Mev) وبجرع إشعاعي مختلف هي Gy (728, 312, 312). ومن ثم تمت مقارنة خواص هذه المادة المتراكبة المتميزة بفحص (الانحناء، ممانة الثنبي، مقاومة التصدع الداخلي، الصلادة السطحية و مقاومة الصدمة) مع تلك الخواص لهذه المادة المتراكبة غير المشعّعة وذلك لملحوظة تأثير التشعيع على مقاومة الإشعاعية لهذه المادة.

أظهرت النتائج المقارنة إن تدعيم الراتنج النوفولاك بألياف الزجاج يعلم على تحسين مقاومته الإشعاعية، وأن زيادة الجرع الإشعاعية إلى Kg (312) تؤدي إلى زيادة جميع الخصائص الميكانيكية الم دروسة في بداية الأمر لتتفصّل بعد ذلك هذه الخصائص مع الاستمرار بزيادة الجرع الإشعاعية. هذا ومن الجدير بالذكر تم الاستعانة بالمجهر الإلكتروني الضوئي لدراسة السمات السطحية للنماذج الخاسعة لبعض من الفحوصات السابقة الذكر.

**الكلمات المفتاحية:** المقاومة الإشعاعية، المواد المتراكبة الفينولية، راتنج النوفولاك، التشعيع بأشعة كاما، الجرع الإشعاعية، الأشعة المؤينة ، معامل المرونة، مقاومة الثنبي، مقاومة الصدمة، الصلادة

### 1. المقدمة

و عليه أجريت العديد من الدراسات التي تبحث في موضوع تأثير الأشعة المؤينة على الخواص الفيزيائية للعوازل الكهربائية البوليمرية ، في عام ( 1979 ) قام الباحثان (Zahrani Nofal) بدراسة تأثير تشعيع بولي كلوريد الفانثينيل بأيونات الهيدروجين وبفترات زمنية مختلفة وصلت إلى ثمانية أيام فوج أن لزوجة محلول PVC مذاب في سايكوهكسانون (Toluene) تقل في المراحل الأولى من التشعيع وبعدها تزداد قيمة اللزوجة [4]. وفي عام ( 1981 ) أجريت تجارب من قبل العالمين (Klabunde) و (Coltman) حيث عملوا على تشعيع الأبيوكسي والبولي أميد الداخلة في صناعة المترابكبات بأشعة كاما وفي درجة حرارة ( 4.9°k ) و اخضعوا هذه المترابكبات المشعّعة لفحوص ميكانيكية (فحص الثنبي ذو النقاط الثلاثة، فحص الانضغاط) وفي درجة حرارة ( 77°k ) و من خلال هذه الفحوصات استنتجوا إن هناك اندحار في قيمة أقصى مقاومة اثنانية لراتنج الأبيوكسي والبولي أميد عند حرارة ( 77°k ) و عند المقارنة بين الراتنجين توصلوا إلى إن راتنج البولي أميد هو أكثر مقاومة من راتنج الأبيوكسي لأشعة كاما [5]. وفي عام ( 1983 ) أجريت تجارب من قبل العالم (Balakrishna) و جماعته حيث قاموا بتشعيع مترابك الأبيوكسي المسلح بالألياف الزجاج بأشعة كاما مقدارها ( 10<sup>8</sup>rad) حيث عملوا على إجراء فحص الكلال (Fatigue) هو أحدي الفحوص الميكانيكية و في درجتي حرارة ( 77°k )

قد شاع استخدام المواد المتراكبة ذات الوسط الفينولي (Phenolic) في اغلب التصميمات الحديثة نظراً لنقوص خواصها الحرارية على بقية المواد الراتنجية ، وهناك تطبيقات عديدة بربت فيها الحاجة إلى مواد ذات قابلية عالية على تحمل درجات الحرارة المرتفعة إنشاء تعرضاً لأشعة ذات طاقة عالية (radiation) ، كما هو الحال في العديد من الدوائر الكهربائية المستعملة في تجهيزات القدرة النووية (High - energy equipment) وكماسكات للمواد المشعة خلال الأجهزة النووية أو كطلاءات وقائية (Protective coatings) في منشآت توليد القدرة النووية [1].

أن تعرض البوليمرات لأشعة ذات طاقة عالية ك(أشعة كاما، الأشعة السينية، النيوترونات (Neutrons)، الألكترونات (Electrons)، البروتونات (Protons) والديترونات (Deuterons)) يؤدي إلى حدوث عمليات تأين وتهيج للجزيئات وبالتالي الحصول على جزيئات متهيجة وأيونات ومن ثم يؤدي إلى إنتاج الجذور الحرة وأن عدد الجذور الحرة الناتجة يتتناسب مع جرعة التشعيع [1][2].

وتجدر بالذكر أن هذه الجذور ربما تتفاعل وتغير من التركيب الكيميائي للبوليمر وبالتالي فإنها تغير من الخواص الفيزيائية للبوليمر [3].

(Gamma-ray irradiation) والتشعيع بأشعة كاما (Water على الخواص الميكانيكية لهذه المادة المتراكبة المحضرة. ولقد استنتاج الباحث وجماعته أن خاصية الشد تتحسن مع الزيادة الابتدائية لزمن التعرض للتجوية الطبيعية (weathering) إلى (30) يوماً بعد ذلك انخفضت وبالمثل فإن مقاومة الشد (Tensile Strength) ومعامل يونك (Young's modulus) تزداد مع الزيادة الابتدائية للجرع الإشعاعية ثم بعد ذلك تقل أيضاً، على العكس من ذلك، فإن عند الكسر لا تتغير هذه الخواص للمادة المتراكبة بعد غمرها في الماء ولمدة (15) يوم ولكنها سرعان ما تشهد زيادة بعد ذلك. كما أشارت هذه الدراسة إلى حقيقة أن هذه التغيرات الحاصلة في خواص هذه المادة المتراكبة المحضرة يفترض نتيجة للتأثير المتبادل بين التشابك الترابط (Cross-linking) وتفاعلات افلاق السلسلة (Chain scission) والتي تحدث تحت ظروف التجوية الطبيعية والتشعيع بأشعة كاما بالإضافة إلى عمليات التلدين (Plasticizing) بتأثير امتصاص جزيئات الماء خلال غمر النماذج المحضرة فيه [10].

## 2. الهدف من الدراسة

تهدف هذه الدراسة للتعرف على الآثار الجانبية لأشعة كاما وكذا الجرع الإشعاعية الناتجة من التأثير المشع ( $\text{Co}^{60}$ ) على بعض الخواص الميكانيكية لمتراكب بوليمر يتألف من راتنج الفينول - فورمالديهيد نوع نوفولاك المدعوم بالياف الزجاج وبكس وزني قدره (60%)، ومعرفة مدى الانحراف الحاصل في خصائصه الميكانيكية مع ارتفاع قيمة الجرعاة من الإشعاع النووي، لتحديد المخاطر الناجمة عن تراكم هذه الإشعاعات في جسم المتراكب بغية تقدير خطورتها على كفاءة أداء المادة المحضرة.

## 3. الجانب النظري

### 3.1 - (أشعة كاما - Gamma - ray)

تطلق تسمية أشعة كاما على الأشعة الكهرومغناطيسية الناتجة عن التحولات الحادثة في النواة في حالة تبيّح فتبعث طاقة التبيّح هذه لكي تعود إلى حالة المستقرة على شكل أمواج كهرومغناطيسية وهي ذات طول موجي قصير جداً يتراوح بين( $10^{-10}\text{cm}$ - $10^{-8}\text{cm}$ ) تماثل بقابليتها الكبيرة جداً على اختراق المواد [11][25].

### 3.2 - (مصادر أشعة كاما - Gamma - ray sources)

تقسم أشعة كاما تبعاً لمصادرها إلى ماليي [26][27]:-

- 1- أشعة كاما التي تلي انحلال بيتا أو إلfa من النواة decay (Gamma - ray following Beta or Alpha).
- 2- أشعاع القناء (Annihilation radiation).
- 3- أشعة الكبح (التباطؤ) (Bremsstrahlung).
- 4- أشعة كاما الناتجة من العمليات النووية.

(295 $\text{k}^0$ ) على التوالي وكان لتأثير درجات الحرارة المنخفضة زيادة مقاومة الكلال للمتراكبات المشععة [6]. وفي عام (1984) قام الباحث (Egusa) وجماعته بتشعيع متراكبات الأيبوكسي ومتراكبات البولي امайд وكل متراكب من هذه المتراكبات مسلح بإحدى الألياف (الزجاجية والكاربونية والألمونيوم) وشعّعت بأشعة كاما والفيض النيوتروني وفي درجة حرارة الغرفة وأجريت عليها الفحص الميكانيكية (فحص الثني ذي النقاط الثلاث) في درجة الغرفة وفي درجة حرارة (5 $\text{k}^0$ ) توصلوا إلى أن معامل يونك لهذه المتراكبات لم يتغير إلا في الفيض النيوترونات ( $5 \times 10^{18}\text{n/cm}^2$ ) وأن أقصى مقاومة انتثنائية في هذا الفيض وفي درجة حرارة الغرفة تقل أليضاً متراكب الأيبوكسي المسلح بالألياف الزجاجية أما لقيمة المتراكبات فإن معامل يونك وأقصى مقاومة انتثنائية لم تتأثر في حالتي أشعة كاما والنيوترونات فمعامل يونك يبقى غير متغير إلا في حدود جرعة مقدارها (1000 Mrad) [7]. وفي عام (1988) درس الباحثان (Duplessis و Badenhorst) تأثير أشعة كاما على صلادة مادة بولي كلوريد الفانيل المضافة إليه المطاط بنسبة (5%) والمستعملة كأرضيات للمنازل فوجد أن الصلادة تزداد بصورة طفيفة عند الجرعاة الإشعاعية (300KGray) مقارنة بالبوليمر غير المشع [8].

في عام (2007) قام الباحث (Aytac) وجماعته بدراسة تبحث إمكانية الحصول على متانة عالية (High Tenacity) لأشرطة (cords) من النايلون (Ny66) والبولي استر (PET) المستعملة في إطار السيارات (Automobile tyres) لأشرطة كاما، وعليه فإن أشرطة الإطار المعدني (Tyre cords) ذات مستويات برم (Twist levels) مختلفة قد شعّعت بمعدلات جرع مختلفة في الهواء. فقد وجد أن اثر التشعيع على كل من أشرطة (Ny66) و (PET) لا تعتمد على مستويات البرم لهذه الأشرطة المحضرة. وجدير بالذكر أن التغير في بعض الخصائص الميكانيكية والحرارية مع زيادة الجرعاة قد تم قياسها. فقد لوحظ حصول تدهور (Deteriorate) كل من الاستطاله (Elongation) ومقاومة الشد (Tensile Strength) لأشرطة (Ny66) مع زيادة الجرعاة الإشعاع بينما لم يطرأ أي تغير في أشرطة (PET cords). كما أن قيمة الانكماش الحر (Hot shrinkage) (Greige Ny66 لـ (Greige PET) قد تحسنت أي بمعنى قلت. أن هذه النقصان يكون أقل بكثير في (Greige PET) مقارنة بـ (Ny66 cords) وعليه استنتاج الباحث أن أشرطة resistance (PET cords) ذات مقاومه أشعاعيه (Radiation resistance) مقارنة بأشرطة (Ny66 cords) (Energy irradiation) على أشرطة الإطار المعدني (Tyre cords) التي ينبغيأخذها بنظر الاعتبار خلال التصميم إذا ما طبق على الفلكنه (Pre - vulcanization) طقة عالية الإشعاع [9].

وفي عام (2008) قام الباحث (Saenpong) وجماعته بدراسة بعض الخصائص لمادة متراكبة من راتنج (ipp) (Isotactic poly propylene) المتمثلة بنشرة الخشب (Wood Sawdust) (Natural fibers) بنسبة وزنية تقدر بـ (30 wt%), وقد استخدمت ماكينة البثق الثنائية اللولب (Twin screw extruder) في تحضير صفائح مبتوقة من راتنج (ipp)، بعدها استعملت ماكينة حقن القوالب (Injection molding machine) لإعداد النماذج المتراكبة. هذا وقد درس الباحث وجماعته تأثير ظروف التجوية ال طبيعية immersion (Natural weathering) والغمرين بالماء (Natural weathering)

حيث يكون العمر الزمني للأيونات الناتجة قصيراً، لذا فإن الجنور الحرة هي التي تدخل في التفاعلات الكيميائية التي يطلق عليها التحولات الإشعاعية الكيميائية (Radiochemical) وبذلك فإن التغير الحاصل في الخواص الفيزيائية للبوليمر المعرض لأشعة كاما ناتج عن الترتيب الإلكتروني الجديد لجزيئاته [14]. وأن ميكانيكية تفاعلات الجنور الحرة مع بعضها يكون على نوعين هما [3][15]:-

**1- سحق السلسلة الرئيسية (التحلل ) (Degradation)**  
Main Chain:  
وهي عملية تقليل طول السلسلة الرئيسية للجرينة البوليمر. بصورة عامة يتحلل البوليمر عند تعرضه لأشعة كاما إذا كانت الوحدة التركيبية له تحتوي على مجموعتين جانبيتين كبيرتين (Two large side groups).

**2- التشابك الترابطي (Cross linking):**  
تسبب أشعة كاما في العديد من البوليمرات خلط المجاميع الجانبية تاركة جريئة البوليمر بشكل جذر حر ممكّن أن يتفاعل ثانية.

وبذلك فإن زيادة التشابك الترابطي يؤدي إلى زيادة الوزن الجزيئي للبوليمر وانخفاض في قابلية ذوبانه.

### 3.5 - تشخيص وتوصيف المقاومة الإشعاعية للبوليمرات ومترابكتها

بصورة عامة أن مدى التغير الحاصل في التركيب الكيميائي للبوليمرات ومترابكتها بفعل الأشعة ذات الطاقة العالية هو مقاييس لمقاومة إشعاعية، حيث أن مدى الانحراف الحاصل في الخواص الميكانيكية والكهربائية والحرارية لهذه المواد خلال تعرضها لمحيط من الأشعة النووية يحدد طبيعة استخدامها [1] [3].

وفي هذه الدراسة تم توصيف المقاومة الإشعاعية للمادة المترابكة المحضرة بأجراء الاختبارات الميكانيكية التالية:-

and Bending Test      **أولاً:- اختبار الانحناء ومتانة الثني (Flexural Strength**

**(Bending Test)**

يعد هذا الاختبار من الاختبارات المهمة والمعقدة لكونه يتضمن التعرض لنوعين من القوى الأولى قوة الضغط (Compression) والثانية قوة شد (Tension) [29].  
فمن خلال هذا الفحص يمكن معرفة التغير في الانحراف تحت تأثير حمل متغير وبذلك يمكن حساب معامل مرنة الثني (والذي يمثل مقياس الصلابة (الحساءة)) خلال الجزء البدائي من عملية الثني باستخدام العلاقة التالية [29]:-

$$E = \left[ \frac{Mass}{Deflection} \right] \left[ \frac{gL^3}{48I} \right] \quad ... (1)$$

حيث (*Mass/Deflection*): تمثل ميل الجزء الخطى من منحنى (الحمل- الانحناء).  
(*L*) : البعاد بين نقطى التحميل (*m*).

فهناك أنواع مختلفة من المصادر الإشعاعية المستخدمة في تشعيع البوليمر منها النظائر المشعة (Radioactive isotopes) ومعجلات الجسيمات المنشونة [12].  
وأن من الجدير بالذكر استخدم النظير المشع الكوبالت - 60 ( $Co^{60}$ ) في أبحاث تشعيع البوليمرات لأن أشعة كاما المبنية من ( $Co^{60}$ ) تصل في الأقل إلى عدة سنتمرات داخل المواد البوليمرية وتفاعل مع أغلب الالكترونات الذرية. فهو يبعث فوتونين لأشعة كاما أحدهما ذو طاقة (1.17Mev) والأخر (1.33Mev). أما عمر نصف له فهو (5.26) سنة [13].  
وموضوع هذه الدراسة يرتبط بتشعيع المادة المترابكة المحضرة بأشعة كاما في درجة حرارة الغرفة باستخدام مصدر ( $Co^{60}$ ).

### 3.3 - تفاعل أشعة كاما مع المادة Radiation Gamma with Matter

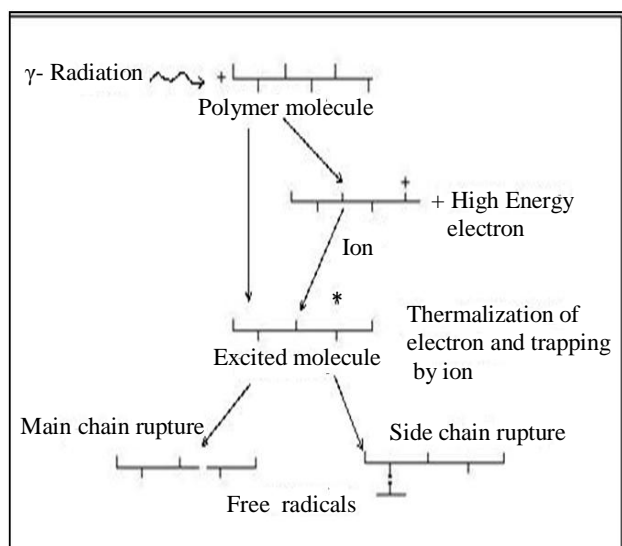
تفاعل أشعة كاما عند مرورها خلال المادة تبعاً لطاقتها مع الالكترونات الذرية بطرائق مختلفة وكما يلي:-

- 1- تأثير الكهرومودوني (Photoelectric effect).
- 2- تأثير كومبتون (Compton effect).
- 3- إنتاج الأزواج (الإلكترونات والبوزترونات) (Piar production).

بالإضافة لهذه التفاعلات الرئيسية الثلاثية توجد تفاعلات أخرى ليست ذات أهمية في مجال هذه الدراسة لعدم احتمالية حدوثها في مدى الطاقة المدروسة [11].

### 3.4 - تأثير أشعة كاما على البوليمر Gamma Radiation on Polymer

أن تأثير أشعة كاما على البوليمر يتمثل في أحداث تأين وتهيج في جزيئاته بالتفاعلات الذرية المبينة في الفقرة السابقة. ومن ثم تكوين جذور حرقة (Free radicals) أو أيونات وجذور حرقة والشكل (1) يوضح تأثير أشعة كاما على البوليمر [28].



شكل -1- يوضح تأثير أشعة كاما على البوليمر [28].

$(F_b)$  : حمل الكسر.

وكما هو مذكور أعلاه فهناك قوى قصبية (Shear forces) علوة على قوى الشد والانضغاط وعليه يمكن حساب إجهاد القص ( $\tau$ ) (Shear stress) للنموذج الخاضع لفحص الثني من العلاقة الآتية [30]:-

$$\tau = \frac{3F_b}{4bd} \quad \dots (6)$$

ثانياً:- اختبار مقاومة الصدمة (Strength Test (I.S.) Impact

تعرف مقاومة الصدمة على أنها مقدار الطاقة الممتصة في كسر جسم ذي كثافة محددة (المادة المراد اختبارها) إلى مساحة المقطع العرضي للعينة عند الكسر، وبذلك يمكن القول أن المادة التي تمتلك طاقة كسر عالية تكون ذات متانة عالية وتحسب مقاومة الصدمة من العلاقة الآتية [18]:-

الطاقة اللازمة للكسر

$$\text{مقاييس الصدمة (LS.)} = \frac{\text{طاقة الكسر}}{\text{مساحة المقطع العرضي للعينة عند الكسر}} \quad \dots (7)$$

$$\text{وتقاس (LS.) بوحدة} \left( \frac{K.Joule}{m^2} \right).$$

ثالثاً:- اختبار الصلادة (Hardness Test Instrument)

أن خاصية الصلادة (Hardness) من الخواص الميكانيكية السطحية المهمة والتي يمكن تعريفها بأنها مقاومة المادة للاحتراك أو التشوّه اللدن. ومن هذا التعريف يتضح أن الصلادة ليست دالة لخاصية منفردة وأنما هي خاصية ترابط بمتغيرات المادة كـ (معامل المرنة ومقاومة الخضوع وإزالة الانفعال والتشوّه الدائم) وأن هذه المؤشرات تعتمد على درجة الحرارة ومقدار ومعدل التشوّه [19].

#### 4. الجانب العملي

##### 4.1 - المواد المستعملة:

###### أ- المادة الأساسية (Matrix Material)

المادة الأساسية المستعملة في هذه الدراسة هي راتنج الفينول-فورمالديهيد نوع (نوفولاك) المتوفّر لدى شركة ذات الصواري. أن النوفولاك هو عبارة عن كتل صخرية يتم طحنها وخلطها مع المادة المصلدة الهيكساميثيل نتر ألين (HMTA) بنسبة (10%) وزناً [1] [30].

###### ب- مواد التدعيم (Reinforcing Material)

استعملت ألياف الزجاج نوع (E) بهيئة ألياف قصيرة بأطوال معينة تتراوح بين (6-8mm) وذات قطر يقدر بـ (10-14μm). أن المواد المترافقية المشكلة لا تحتوي فقط على راتنجات وما يتبعها من مواد التسليح بل أنها تحوي على مواد معينة أخرى ذات طبيعة

(I) : يمثل عزم الانحناء الهندسي والذي يعطى بالمعادلة التالية [20]:-

$$I = \frac{bd^3}{12} \quad \dots (2)$$

حيث ( $b$ ) : عرض النموذج (m).  
( $d$ ) : سمك النموذج (m).

###### ب- اختبار متانة الانحناء (Flexural strength (F.S.))

أن مقاومة الثني للمادة هي قابلية تحمل تلك المادة لقوى الثني المسلطة بصورة عمودية على محورها الطولي. وأن الإجهاد الذي تحدث عن تسليط حمل الثني هو اتحاد لثلاثة أنواع من الإجهادات التي تحدث في موقع مختلفة وبنفس الوقت، تكون مسؤولة عن حدوث هذا النوع من الفشل وهم [30]:-

- 1- الإجهادات الشديدة.
- 2- الإجهادات الانضغاطية.
- 3- الإجهادات القصبية.

أن أعظم إجهاد في ظروف فحص الثني الثلاثي النقطة (Three point test) والحاصل في منتصف المسافة بين المساند يمكن أن يحسب لأي نقطة على منحني (الحمل - الانحناء) بواسطة العلاقة [16] [17]:-

$$\sigma_{\max} = \frac{3SF}{2bd^2} \quad \dots (3)$$

حيث أن :-

$$\sigma_{\max} = \frac{N}{m^2} \quad \dots (4)$$

( $N$ ) : هو إجهاد الثني ووحداته (Pa) = باسكال.  
( $F$ ) : الحمل (N).  
( $S$ ) : المسافة بين المساند (m).  
( $b$ ) : عرض العينة (m).  
( $d$ ) : سمك العينة (m).

إذا كانت النسبة بين المسافة بين المساند ( $S$ ) وبين السمك ( $d$ ) أكبر من (16) فإن هناك انحناء كبير سوف يحصل للعينة. أن أعظم إجهاد على السطح الخارجي للعينة يمكن أن يعطى وبصورة تقريبية من المعادلة [16] [17] التالية:-

حيث ( $D$ ) : الانحناء في وسط المسافة بين المساند.

$$\dots (4) \sigma_{\max} = \frac{3SF_b}{2bd^2} \left[ 1 + 6 \left( \frac{D}{S} \right)^2 - 4 \left( \frac{d}{S} \right) \left( \frac{D}{S} \right) \right]$$

أن مقاومة الانثناء تكون متساوية إلى الإجهاد الكلي في لحظة حدوث الكسر. ويمكن حساب مقاومة الانثناء بالتوافق مع المعادلين (3)، (4) وذلك بتعميق قيمة الحمل بما يساويه لحظة حدوث الكسر، وهذا يعني [16] [17] [29] التالية:-

$$\sigma_B = (F.S.) = \frac{3SF_b}{2bd^2} \quad \dots (5)$$

حيث أن:-  
( $\sigma_B$ ) : مقاومة الانثناء.

سرعة عالية بعدها يتم إضافة عوامل تحسين النوعية وبشكل تدريجي مع مراعاة استمرار الخلط.

2- تغمر الألياف في المزيج الراتجي الفينولي المطمور مع التحرير ومراتقة تشبع كافة الألياف بالراتنج.

3- بعد التأكيد من الغمر الجيد وتشبع الألياف بالمزيج الراتجي، تبدأ مرحلة التجفيف بواسطة الهواء الساخن لدرجة حرارة تتراوح  $80^{\circ}\text{C}$  -  $70^{\circ}\text{C}$ ، حيث تترك المادة في جو الفرن عند هذه الدرجة الحرارية لمدة ثلاثة ساعات وبذلك يتم التخلص من كحول الإيثانول المستخدم في المزيج عندئذ تصبح المادة المحضرة جاهزة للقولبة، ومن ثم كبس النماذج المستخدمة في الاختبارات باستخدام المكبس نصف الآلية المصنعة من قبل شركة (Batten Feld / Berge).

وجدير بالذكر أن هذه النماذج المحضرة تم إعدادها حسب المواصفات القياسية (ASTM) وكما يلي:-

- عينات اختبار الانحناء ومتانة الثني (F.S) أعدت حسب الموصفات (ANSI / ASTM - D790) علمًاً بأن عدد عينات الاختبار تقدر بـ (3) حيث يعد فحص الانحناء من الفحوصات الغير اتلافية.
- عينات اختبار الصدمة أعدت حسب الموصفات (ISO-179) علمًاً بأن عدد عينات الاختبار تقدر بـ (3).
- عينات اختبار الصلادة (Shore-D) أعدت حسب الموصفات (ASTM-D2240) علمًاً بأن عدد عينات الاختبار تقدر بـ (3).

#### ب- تشيع العينات (Samples Irradiation)

تم تعريض العينات لأشعة كاما في درجة حرارة الغرفة باستخدام مصدر ( $\text{Co}^{60}$ ) الذي يبعث فوتونات بطاقة (1.33 eV) و (1.17 eV) ميكا الكترون فولت، والتي يمكن اعتبار معدل طلقها (1.25 eV) ميكا الكترون فولت وبأوقات زمنية مختلفة للحصول على الجرعات الإشعاعية المطلوبة وهي: (208, 312,728) KGy.

### 4.3 - الأجهزة المستخدمة (Instruments)

1- جهاز اختبار الانحناء (Bending):  
لفرض حساب عامل المرونة تم استخدام جهاز الانحناء المصنوع من قيل شركه (Phywe) الألماني المنشأ وفيه يتم ثبيت العينة من طرفيها على مرتكبين وتعلق الكتل (Masses) بصورة تدريجية على الحامل المثبت عند منتصف العينة مما يسبب انحنائها تدريجياً ومن خلال مؤشر مقاييس الانحراف يمكن قراءة مقدار الانحراف (Deflection) الحاصل للعينة ذات الأبعاد المعلومة.

2- جهاز قياس متانة الثني (Flexural strength):-  
تم إجراء الاختبار الثلاثي النقاط باستخدام المكبس الهيدروليكي من نوع (Ley Bold Marris No.36110) وذلك بتسلیط الحمل تدريجياً بالرأس المدبب عند منتصف العينة المثبتة من طرفها على مرتكبين ويستمر تسلیط الحمل حتى يحصل الكسر أو الفشل للعينة.

3- جهاز اختبار الصدمة:-  
لقد تم استخدام جهاز الصدمة من نوع جاري (Charpy impact test instrument) لغرض إجراء اختبار الصدمة على العينات المحضرة.

خاصة لتحسين صفاتها الاستخدامية أو من أجل تسهيل عملية تصنيفها.  
واستناداً إلى ذلك تم استخدام عوامل تحسين النوعية المتمثلة بالمواد التالية:-

- اوكسيد المغنيسيوم وهو من المواد التي تستخدم كمعجلات للترابط ألتشاركي تعمل على زيادة سرعة تفاعلات الترابط ألتشاركي وبالتالي تقليل زمن التقسيمة وأن نسبة هذه المواد المضافة هي بحدود (1%).
- الاولبيك (Olic) وهي من الحوامض الشحمية التي تستعمل كمواد مزلقة داخل كتلة اللدائن الفينولية المطمور تقوم بدور تحرير السلعة المصنعة من حفر القوالب لتأمين عدم التصاقها وان نسبة هذه المواد هي بحدود (1-3%).
- سترات الرصاص وهي مواد مشتقة تعمل على انتشار معجلات الترابط ألتشاركي (اوكسيد المغنيسيوم) في محلول الراتجي وتمنع ترسبيه، وأن نسبة هذه المواد المضافة هي بحدود (0.7%).
- بولى خلات الفينيل وهو من المواد التي تعمل على جعل اللدائن الفينولية المطمورة تمتاز بالمرنة مع القساوة وأن نسبة هذه المواد المضافة هي بحدود (5%).
- صبغة الأنيليين (Aniline) وهي من الصبغات ذات أصل عضوي تساعد على إكساب المنتج النهائي جمالاً ورونقًا ول מעانًا كما تعمل على إكساب المنتج النهائي الراتجي عزل كهربائي علاوة على أنها تعد من المواد ذات المقاومة الحرارية والكيميائية الممتازة وأن نسبة هذه المواد المضافة هي بحدود (0.001-5%).

وجدير بالذكر تم في هذه الدراسة الحالية تحضير المترابكات الفينولية المقواة بالألياف الزجاجية القصيرة بنسية وزنية تقدر بحوالي (60%) وذلك بالاعتماد على المعادلة التالية [30]:-

$$\psi = \frac{W_f}{W_c} \times 100\% \quad \dots \quad (8)$$

حيث ( $\psi$ ): الكسر الوزني للألياف في المترابك.  
وأن ( $W_c$ ) تعطى من المعادلة التالية:-

$$W_c = W_f + W_m \quad \dots \quad (9)$$

حيث أن ( $W_f, W_m, W_c$ ) كتلة الألياف والمادة الأساسية والمادة المترابكة على التوالي .

### 4.2 - (تحضير النماذج):

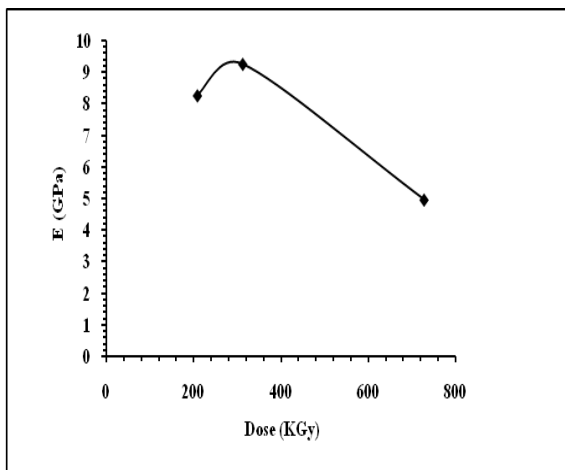
#### أ. تقنية تحضير المترابكات (Preparation Technique)

تم تحضير المادة المترابكة المدرسوسة باستخدام تقنية التشرب (Impregnation Method) والتي تعد من أهم طرائق القوالبة الفينولية وعليه تم إتباع الخطوات التالية:-

- يحضر مزيج الراتنج الفينول- فورمالديهيد المطمور (-Phenol-Modified Formaldehyde) وذلك بإذابة خليط (Novolak- HMTA) ذو نسبة (10%) وزناً من المادة المصلدة (HMTA) في كحول الإيثانول باستعمال خلاط ذو

و كما هو مبين بالجدول (2) ويعود هذا الانخفاض في الانحراف إلى عمليات التشابك الترابط (الترابط المستعرض) الحاصل عند هذه الجرع الإشعاعية والتي زادت من صلادة هذه المادة المتراكبة المحضرة، وهذا يعني أن معامل المرونة يتغير بتغير درجة التشابك الترابطية فبزيادة درجة التشابك الترابطية يختفي مدى الانسيابية المرنة وتصبح المادة صلدة وقابلة للكسر [20] [21].

ومن جهة أخرى أيضاً يظهر الشكل (3) حصول نقصان في قيمة معامل المرونة عند جرع إشعاعية تقدر بـ (728 KGy) ويعزى هذا الانخفاض إلى تغلب تفاعلات التهدم (Degradation) والتي تزيد من احتمالية نشوء التشققات (Fracture) التي تساعد على زيادة هشاشة العينات وبالتالي نقصان معامل المرونة [21] [22].

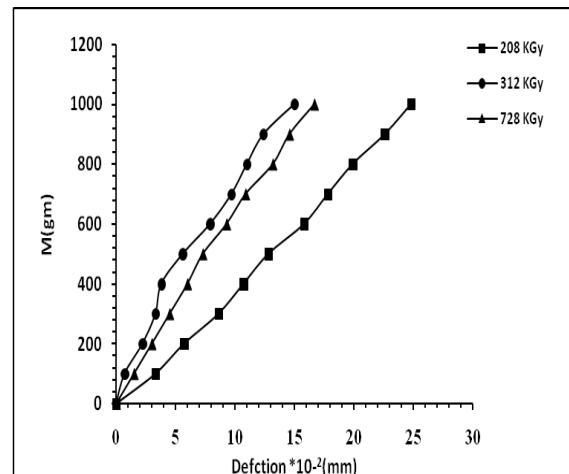


شكل - 3- يوضح تأثير اختلاف جرعة (Dose) التعرض لأشعة كاما في قيمة معامل المرونة للنموذج المحضر.

4- جهاز اختبار الصلادة (Hardness) :-  
لقد تم استخدام جهاز (Durometer hardness) نوع (Shore-D) الايطالي المنشأ لقياس الصلادة السطحية.

## 5. النتائج والمناقشة

وفقاً لما ورد سابقاً رسمت النتائج العملية بشكل منحنيات (الحمل - الانحناء) حيث يلاحظ من الشكل ( 2) أن الانحراف (Deflection) يتاسب طردياً مع الحمل المحدث له، فعند زوال تأثير الحمل المسلط تسترجع المادة حالتها الأولى أي ضمن حد التشوه المرن يتاسب الانفعال طردياً مع الإجهاد ويستنتج من ذلك أن المادة تخضع لقانون هوك (Hook's Law) وأن النسبة بين (Slope) مقدار ثابت ويمثل هنا الميل (Mass/Deflection) المحسوب من الشكل السابق الذكر [29].



شكل - 2- يوضح العلاقة بين الكتلة والانحراف للنموذج المحضر عند جرع إشعاعية مختلفة.

جدول - 1 - يوضح قيمة معامل يونك للنموذج المحضر عند جرع إشعاعية مختلفة.

E (GPa)	Dose (KGy)		
	208	312	728
	8.265	9.263	4.9615

والشكل (3) و الجدول (1) يبيبان حصول زيادة كبيرة في قيمة معامل مرونة الثنائي للنماذج المحضر المنشعة بجرع إشعاعية تقدر بـ (208) و (312) KGy، وهذا يعني أن الانحراف قد انخفضت قيمته في المادة المتراكبة مقارنة بالنماذج الغير المنشعة

## جدول - 2 -

يبين خواص المادة المتراكبة المدعمة بألياف الزجاج القصيرة عند درجة (C° 20 ± 2) قبل التشبع [21]

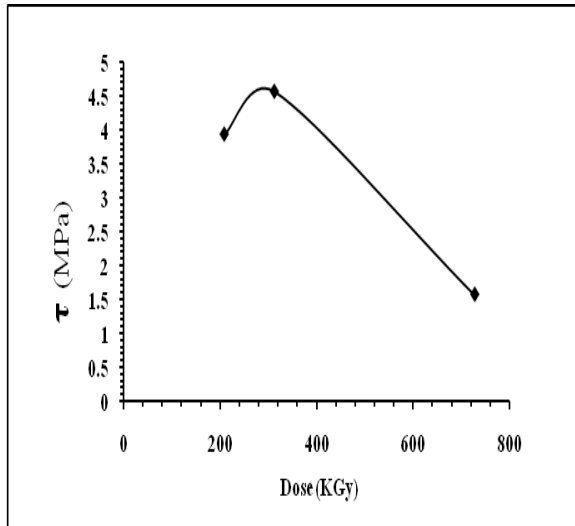
Novolak + G.F. (Short)	Modulus of elasticity GPa	Flexural Strength MPa	Flexural Stress MPa	Impact Strength KJ/m²	Shore-D No.
	2.26	109.7	3.43	28.727	62.57

الترابطي في النماذج المحضرة عند جرع إشعاعية KGy (208) و(312) وذلك من خلال الزيادة الحاصلة في قيمة الإجهاد

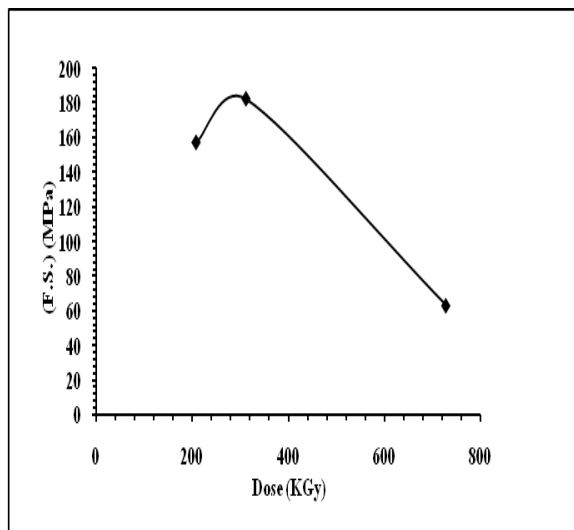
يبين الشكل (4) والجدول (3) تغير متانة الثنائي (F.S.) تبعاً لتغير ظروف التشبع بأشعة كاما، فقد وجد أن أثر تفاعلات التشابك

أظهرت المادة المتراكبة الراتجية عند الجرع العالية صفة الهشاشة.

وبالاخص عند الجرعة (312) KGy مقارنة مع النموذج الغير المشعع، بعدها يلاحظ اثر تفاعلات التهدم في هذه المادة المتراكبة المحضرة وذلك بالانخفاض الحاصل في قيم متانة الانحناء عند جرعة تعرض تقدر بـ (728) KGy.



شكل - 6- يوضح العلاقة بين قيم إجهاد القص ( $\tau$ ) للنموذج المحضر والجرع الإشعاعية.



شكل - 4- يوضح تأثير تغير الجرع الإشعاعية في اختلاف قيم متانة الانحناء للنموذج المحضر.

جدول - 3 - يوضح قيم متانة الثي (F. S.) للنموذج المحضر وعند جرع إشعاعية مختلفة.

F. S. (MPa)	Dose (KGy)		
	208	312	728
	157.232	182.389	62.983

$\tau$ (MPa)	Dose (KGy)		
	208	312	728
	3.93	4.559	1.572

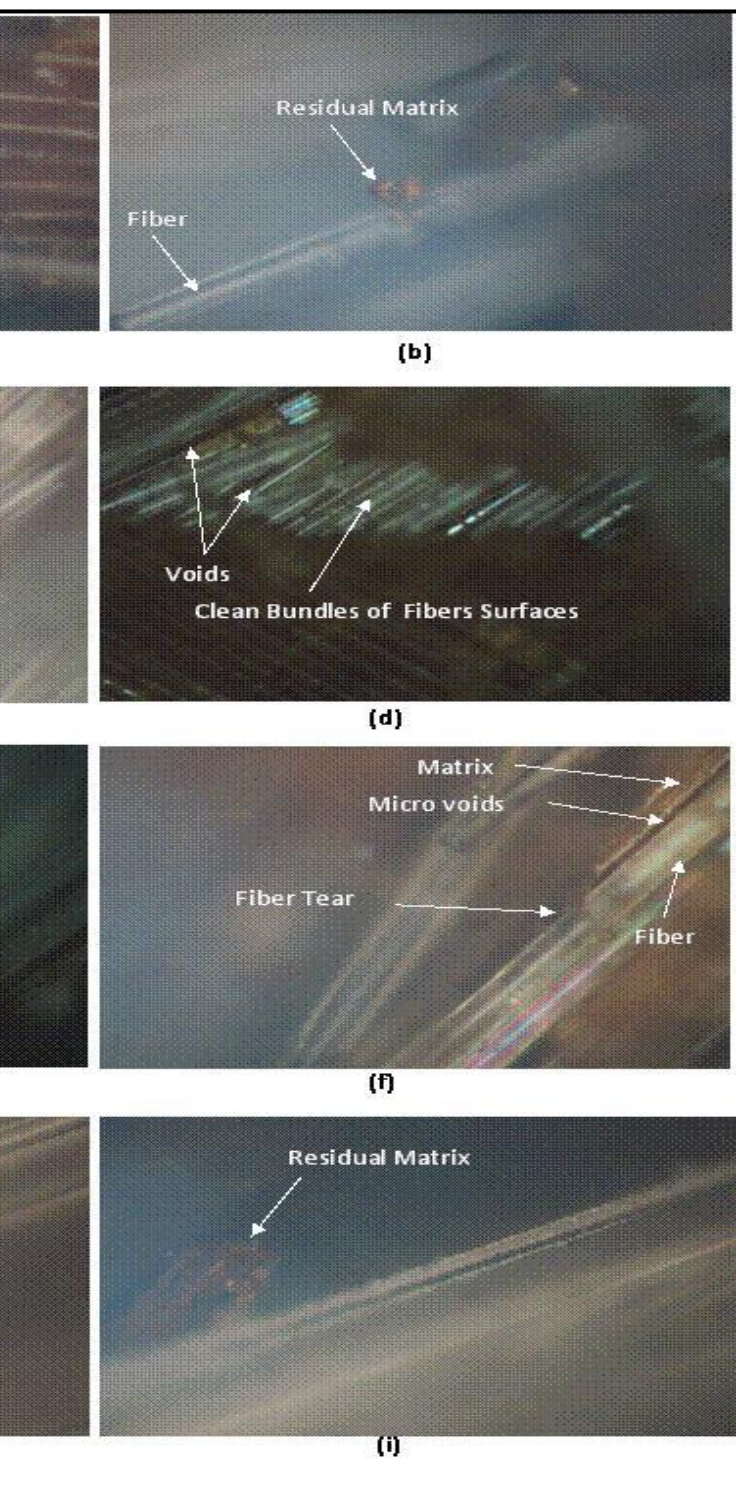
بصورة عامة يحدث الفشل في المادة الراتجية غير المدعمة الخامسة لفحص الصدمة بتحطيم الارتباطات أو القوى في البوليمر وذلك بنمو الشروخ الأولية المحدثة بفعل اجهادات الصدمة والواقع أن هذه الشروخ المتولدة تتمو وتنكاثر بشكل كبير وسرريع باتجاه السطوح البنية الفاصلة بين السلاسل البوليمرية لأن القوى بين هذه السلاسل متمثلة بقوى فاندرفال (Van der Waal) - التي تتطلب طاقة قليلة للتغلب عليها، أما الشروخ المتولدة باتجاه العمودي على اتجاه السلاسل البوليمرية فسوف تعمل على تحطيم تلك السلاسل خلال عملية الانتشار (Propagation)، أن هذا الأمر يتطلب طاقة اكبر للتغلب على تلك القوى المسئولة عن ربط الوحدات التركيبية والمتمثلة بالأواصر التساهمية وعند تسليح المادة البوليمرية بالياف نلاحظ أن الطاقة اللازمة لكسر البوليمر تزداد [29]. فقبل حدوث الفشل في المادة المتراكبة تمر المادة بمرحلتين الأولى هي كسر المادة الأساسية (Matrix) والثانية هي الفشل الحاصل في الألياف وهو نوعان فيما أن تتمزق (Tear) الألياف أو تعانى انسلاخاً (Pullout) من المادة الأساسية، وفي المرحلة الثانية يكون

كما تم استخدام المجهر الضوئي في دراسة طبيعة سطح الكسر الحاصل للنموذج المحضر الواقع تحت اختبار متانة الانحناء وعند درجة (20°C ± 20°C) فقد لوحظ من الشكل (5) أن سطح الكسر للعينات المشععة بجرعة إشعاعية تقدر بـ (728) KGy يتميز بانتشار الشروخ في ألياف الزجاج وحصول حالة التمزق (Tear) لبعضها مصحوبة بتهشم المادة الأساسية الراتجية المتمثلة هنا براتج التوفلاك. علاوة على ذلك تم ملاحظة من خلال الصور المجهرية تحطم السطوح البينية الفاصلة بين المادة (الأساس - ليف) مع تبعثر وتشتيت الراتج من على سطح بعض الألياف مصحوبة باختفائه في مناطق أخرى لتبدو هذه الألياف ذات سطوح نظيفة وهي مؤشر لضعف قوة التلاصق ما بين المادة الأساسية والألياف مع استمرار زيادة الجرعة الإشعاعية.

كما يتضح من الشكل (6) والجدول (4) أن مقاومة التص للطبقات الداخلية تسلك سلوكاً مماثلاً لمتانة الانحناء مما يؤكد حالة التناسب بينهما [29].

كما بينت النتائج المتمثلة بالشكل (7) والجدول (5) تغير مقاومة الصدمة (I.S.) تبعاً لجرعة التعرض لأشعة كاما، فقد

مقدار الطاقة المصروفة لكسر العينات اكبر من المرحلة الأولى وهذا ما وصفه (Gwilym, E.Owen) في بحثهما[30].



شكل 5- يوضح صورة مجهرية بقوة تكبير (270X) لسطح الكسر الحاصل للنموذج المترافق المعرض لجرعه مقدراها KGy (728) والواقع تحت تأثير اختبار متانة الانحناء.

(a)- يمثل انتشار الشروخ في كل من المادة الأساسية والألياف مع نمو الفراغات (Voids) بالتصدع القصبي وكذلك بشروخ الطبقات الداخلية(Inter Laminar cracking).

(b)- يمثل تبعثر وتشظي المادة الأساسية من على سطح الليف.

(c)- يمثل انسحاب الألياف بشكل حزم (Bundles) مصحوبة بتشظي المادة الأساسية مع بروز مناطق متحطم في بعض الألياف.

(d)- يبين أن التدعيم المادة الأساسية بالألياف يؤدي إلى تغير منطقة الكسر بظهور سطحاً خشنًا لانسحاب الألياف بشكل حزم.

(e)- يمثل ألياف ذات أسطح نظيفة (Clean Single Fiber Surfaces) خالية من المادة الأساس وهي مؤشر لضعف قوة التلاصق ما بين المادة الأساسية والألياف عند الجرع الإشعاعية العالية.

(f)- يمثل تمزق (Tear) الألياف وانسحابها خارجاً مع بقايا من المادة الأساسية (Matrix) الملتصقة على سطحه.

(g)- يمثل انسحاب الألياف خارجاً بأسطح نظيفة خالية من وجود المادة الأساسية عليها.

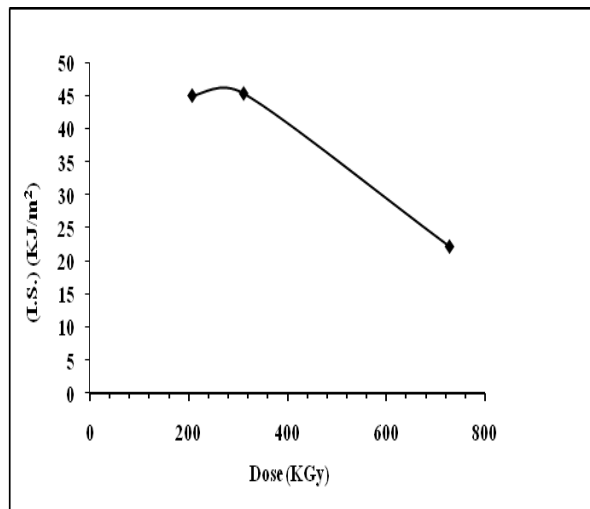
(i)- تهشم المادة الأساسية (Matrix) مختلفة ألياف ذات أسطح نظيفة وهي مؤشر لضعف مقاومة السطح البيني بين الليف والمادة الأساسية.

شكل - 8- يوضح تأثير اختلاف الجرع الإشعاعية في قيم الصلادة للمادة المحضرة.

كما يشير الشكل (8) والجدول (6) التشابه الكبير في السلوك الذي تظهره قيم الصلادة السطحية للمادة المتراكبة المحضرة زيادة أو نقصان مع زيادة جرع الإشعاع فقد أظهرت النتائج الميكانيكية أن الإشعاع أدى تقليل إلى لدانة العينات وزيادة هشاشتها مما يؤدي إلى إضعاف مقومتها للتخدش والغرز وخصوصاً عند جرعة تعرض إشعاعية تقدر بـ (728) KGy.

جدول - 6 -  
يوضح قيم الصلادة لنموذج المحضر عند جرع إشعاعية مختلفة.

صلادة (Shore - D) No.	Dose (KGy)		
	208	312	728
	82.1	71.3	67.1



شكل - 7- يوضح العلاقة بين مقاومة الصدمة لنموذج المحضر والجرع الإشعاعية لنموذج المحضر.

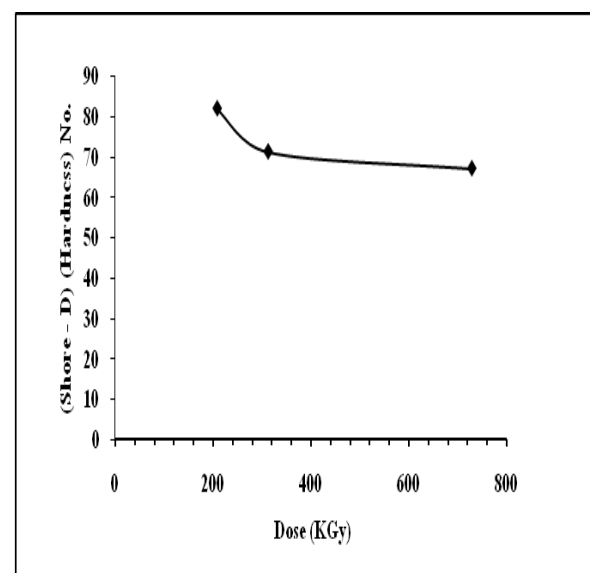
جدول - 5 -  
يوضح قيم مقاومة الكسر لنموذج المحضر عند جرع اشعاعية مختلفة.

Impact Strength (I. S.) (KJ/m²)	Dose (KGy)		
208	312	728	
45.07	38.7	22.264	

أن تدعيم مادة راتنج النوفولاك بألياف الزجاج يزيد من مقاومة الإشعاعية وبالتالي زيادة مقاومة الصدمة حيث أن قيم (I.S.) للمادة المتراكبة غير المشععة تقدر بـ (28.727)  $J/m^2$  (28.727) في حين قيمتها للراتنج المدعم بالألياف بعد أن تعرض لجرعة إشعاعية تقدر بـ (208) KGy هي (45.07)  $J/m^2$ .

## 7. المصادر

- [1] A. Knop and L. Pilato, "Phenolic Resins Chemistry", Springer verlag, Berlin Meidelberg New York Tokyo, (1985).
- [2] A. A Mahmood, "Investigation of Positron and Positronium Formation in Polymer Solids" Ph. D. Thesis, University of Baghdad, (1998).
- [3] H.P. Frank, "Polypropylene", Macdonald Technical and Scientific, London, (1968).
- [4] A. H. Zahran and E. Nofal, "J. Appl. Polym. Sci." Vol. 24, No.(1723) PP. (7-8), (1979).



- [15] J. H. O' Donnell, "Chemistry of Radiation Degradion of Polymer, in Radiation Effects in Polymer", ACHS, (1991).
- [16] ASTM – D-790M- 84
- [17] International Standard ISO 178 – 1975 (E).
- [18] R. J. Crawford, "Plastic Engineering", 2<sup>nd</sup> Edition, Chap. 3, Pregamon press, U. K (1987).
- [19] M. D. Baijal, "Plastics Polymer Science and Technology", Jhon Wiley and Sons, New York, (1982).
- [20] I. M. Ward, "Mechanical Properties of Solid Polymer", 2<sup>nd</sup> Edition, John Wiley and Sons Ltd., (1983).
- [21] R. O. Bolt, J. G. Carroll, "Radiation Effects on Organic Material", Academic press, New York, (1963).
- [22] X. Lu. N. Brown, M. Shaker, I. L. Kamal, "J. Polym. Sci.:part B: Polym. Phys.", Vol. 33, P. 153, (1995).
- [23] J. S. Wu, K. Friedrich and M. Grossos, "Composites", Vol. 20, No.3, May, (1989), PP. (223-233).
- [24] Gwilym and E.-Owen; "Polymer Engineering Sci", Vol. 8, P. 467, (1981).
- [25] احمد خضر عجينة، (طرق استعمال العناصر المشعة في العلوم البيولوجية والبيئية والفيزيائية)، مطبعة المؤينة، منظمة الطاقة الذرية العراقية، مطبعة بابل - بغداد، (1989).
- [26] الدكتور بهاء الدين معروف، "الوقاية من الإشعاعات المؤينة"، منظمة الطاقة الذرية العراقية، مطبعة بابل - بغداد، (1989).
- [27] خالد عبيد الأحمد، "مقدمة في الفيزياء الصحية"، مطبعة جامعة الموصل (1993).
- [28] عباس جواد عبد السعدي، "دراسة تأثير كاما على بعض الخواص الفيزيائية لبعض العوازل الكهربائي دكتوراه كلية التربية ابن الهيثم البوليميرية"، رسالة (1997).
- [29] رولا عبد الخضر عباس، "دراسة التأثير الحراري على الخواص الميكانيكية لمتراكب هجيني"، مجلة النهرin - العلوم المجلد العاشر - العدد الأول، الصفحة (2007) (11-23).
- [30] رولا عبد الخضر عباس، "دراسة الخصائص الحرارية والميكانيكية لمادة النوفولاك ومتراكباتها"، رسالة ماجستير، قسمالعلوم التطبيقية- الجامعة التكنولوجية (2001) 22-
- [5] R. R. Coltman, Jr. C. E. J. Klabnnde, "Mechanical Strength of Law- Temperature", (Journal of Nuclear Materials), Vol .104, PP. (717-722), (1981).
- [6] Balakrshna, Korukonda, Joseph, C. Conway, Jr. and Richard A. Queeney and W. S. Diethorn, "The Effect Radiation Dcryanogenic Temperature on the Fatigue Resistance of G-IICR Glass- Cloth/Epoxy Laminates", (Journal of Nuclear Materials) Vol.115, PP.(197-202), (1983).
- [7] S. Egusa, M.A. Kirk and R. C. Birtcher, "Neutron Irradiation Effect on the Mechanical Properties of organic composite Materials", (Journal of Nuclear Materials) Vol. 126, No.2, PP. (152-160), (1984).
- [8] T. A. Duplessis and F. Badenhorst, "Radia. Phys. Chem.", Vol. 31, No. (747), PP.(4-6), (1988).
- [9] Ayse Aytac, Murat Sen, Veli Deniz and Olgun given, "Effect of gamma Irradiation on the Properties of Tyre Cords", Nucl. Instr and Meth. In Phys. Res. B265, PP. (271-275), (2007).
- [10] M. Phiryawirut, P. Saenpong, S.Chalermboon, R. Sooksakoolrul, N. Pochanajit, L.Vuttikit, A. Thongchai, P. Supaphol, "Isotactic, Poly (Propylene)/ wood Sawdust Composite: Effect of Natural Weathering, Water Immersion, and Gamma – Ray Irradiation on Machanical Properties", Macromol. Symp. Vol. 264, PP.(59-66), (2008).
- [11] R. D. Evans, "The Atomic Nucleus", (MC Graw – Hill New York), PP. (126 – 128), (1955).
- [12] A. D. Jekins, "Polymer Science", North Holland Publishing Company, London, Vol. 2, P.(1543), (1972).
- [13] G. F. Konll, "Radioactive Detection and Measurement", John Wiley and Sons, New York, (1979).
- [14] Jr. Clinard, "Encyclopedia of Materials Science and Engineering", New York, Vol. 6, P. 4024, (1986).

## Study the Effect Different Radioactive Dose on Mechanical Properties of Composite Material from Novolak Resin Exposure to High – Energy Radiation

**Rula Abdul Khider Abbas\*, Muzher Ali Sahib\*\*  
and Muhammad Slab Hamza\*\*\***

\* Applied Sciences / Technology University

\*\* Electromechanical Engineering Department / Technology University

\*\*\* Materials Engineering / Technology University

---

### Abstract

The research involves using phenol – formaldehyde (Novolak) resin as matrix for making composite material, while glass fiber type (E) was used as reinforcing materials. The specimen of the composite material is reinforced with (60%) ratio of glass fiber.

The impregnation method is used in test sample preparation, using molding by pressure presses.

All samples were exposure to ( $\text{Co}^{60}$ ) gamma rays of an average energy (2.5)Mev. The total doses were (208, 312 and 728) KGy.

The mechanical tests (bending, bending strength, shear force, impact strength and surface indentation) were performed on un irradiated and irradiate samples.

All of the mechanical properties were improved with an increase in radioactive dose of up to (312) KGy to be decreased afterwards.

The topography of some physically tested specimens was studied using optical microscopy.

---